

УДК 661.66: 544.4

**Г. П. Хохлова, В. Ю. Малышева, Ч. Н. Барнаков, А. Н. Попова,
З. Р. Исмагилов**

ВЛИЯНИЕ ПРИРОДЫ И КОЛИЧЕСТВА КАТАЛИЗАТОРА НА ФАЗОВУЮ СТРУКТУРУ УГЛЕРОДНОГО МАТЕРИАЛА, ПОЛУЧЕННОГО НИЗКОТЕМПЕРАТУРНОЙ КАТАЛИТИЧЕСКОЙ ГРАФИТАЦИЕЙ КАМЕННОУГОЛЬНОГО ПЕКА

ВВЕДЕНИЕ

Ранее нами были получены нанопористые углеродные материалы [1], которые могут стабилизировать наночастицы металлов. Наночастицы металлов, стабилизированные пористым углеродным материалом, проявляют интересные катализитические свойства и характеризуются рядом особенностей по сравнению с обычными металлическими катализаторами [2-5]. Предложен способ низкотемпературной (400-1000°C) каталитической графитации углеродных материалов, в которых в качестве катализатора использованы наночастицы 3d-металлов (железо, кобальт, никель), нанесенные на наноразмерный углеродный материал [6-8].

Целью данной работы является более детальное исследование влияния природы и количества катализатора и присутствия углеродной добавки на структуру углеродного материала, получаемого при термопревращении каменноугольного пека в условиях низкотемпературной графитации.

МЕТОДИЧЕСКАЯ ЧАСТЬ

Таблица 1. Выход и элементный состав УМ, полученных карбонизацией при 900 °C среднетемпературного каменноугольного пека ОАО «АлтайКокс»

| № п/п | Образец | Выход УМ в расчете на пек*, % | C, % | H, % | H/C, ат. |
|----------|------------------------------|-------------------------------------|------|------|----------|
| 1 | Исходный пек | 64 | 93,6 | 1,59 | 0,20 |
| 2 | ПГ | - | 91,7 | 0,48 | 0,06 |
| 3 | Игольчатый кокс | - | 97,5 | 0,14 | 0,02 |
| 4 | Пек + 5 % ПГ | 66 | 93,0 | 1,32 | 0,17 |
| 5 | Пек + 10 % ПГ | 66 | 93,4 | 1,43 | 0,18 |
| 6 | Пек + 15 % ПГ | 70 | 92,6 | 1,39 | 0,18 |
| 7 | Пек + 5 % игольчатого кокса | 64 | 93,7 | 0,94 | 0,12 |
| 8 | Пек + 10 % игольчатого кокса | 64 | 94,0 | 0,87 | 0,11 |
| 9 | Пек + 15 % игольчатого кокса | 64 | 95,2 | 0,85 | 0,11 |
| 10 | Пек + 0,25 % Fe | 69 | 93,0 | 1,58 | 0,20 |
| 11 | Пек + 0,5 % Fe | 66 | 93,1 | 1,52 | 0,20 |
| 12 | Пек + 1,0 % Fe | 69 | 93,2 | 1,55 | 0,20 |
| 13 | Пек + 2,0 % Fe | 69 | 93,6 | 1,40 | 0,19 |
| 14 | Пек + 0,5 % Ni | 69 | 91,6 | 1,51 | 0,20 |
| 15 | Пек + 1,0 % Ni | 69 | 92,3 | 1,45 | 0,19 |
| 16 | Пек + 2,0 % Ni | 66 | 90,4 | 1,59 | 0,21 |

*Расчет выхода УМ в пересчете на каменноугольный пек (γ , %) производился по формуле: $\gamma = 100 \left(m_{yo} - m_{kat} \right) / (m_{pek\ исх} - m_{kat})$, где m_{yo} – масса углеродного остатка после графитации, г.; $m_{pek\ исх}$ – масса исходной

D8 ADVANCE A25 (FeK α -излучение ($\lambda = 1,93604\text{\AA}$), (Mn фильтр на первичном пучке) при комнатной температуре по методу поликристалла (порошка). Расчет рентгеноструктурных параметров [10, 11] проведен по рефлексу d_{004} . В случае углеродного материала из индивидуального пека расчет производился по рефлексу (002), т.к. рефлекс (004) в спектре не наблюдается. Разложение рефлекса d_{004} на две компоненты, характеризующие разные фазы графита, показано в работе [12].

Число полиареновых слоев в пакете (N) оценивали по формуле:

$$N = L_c / d_{004} + 1,$$

где L_c - толщина пакетов полиареновых слоев; d_{004} – межплоскостное расстояние.

Степень графитации фазы рассчитывали по формуле:

$$\gamma = (3,440 - d/n) / (3,440 - 3,354),$$

где d/n – основное межплоскостное расстояние, \AA ;

3,344 – межплоскостное расстояние в углероде турбостратного строения;

3,354 – межплоскостное расстояние в бездефектном монокристалле графита.

РЕЗУЛЬТАТЫ И ОБСУЖДЕНИЕ

Элементный состав полученных в условиях низкотемпературной графитации углеродных материалов (УМ) и используемых углеродных затравок представлен в табл. 1.

В присутствии углеродных добавок содержание углерода в УМ по сравнению с УМ на основе индивидуального пека практически не изменяется, но количество водорода уменьшается. В результате атомное отношение H/C снижается (табл. 1). То есть в присутствии исследуемых углеродных затравок процессы ароматизации и конденсации при термопревращении пека проходят более глубоко. Количество введенной углеродной добавки в пределах рассмотренных концентраций мало влияет на отношение H/C. В случае добавки d-металла отношение H/C в полученных УМ сохраняется на

уровне УМ из индивидуального пека. Выход УМ из пека в присутствии как углеродных добавок, так и d-металлов повышается (табл. 1).

Результаты рентгенофазового анализа (РФА) УМ приведены в табл. 2, 3. На рис. 1 в качестве примера показаны рентгенограммы УМ из пека и из пека с добавками 5, 10 и 15 % ПГ.

По структуре УМ, полученный из пека, представляет собой турбостратный углерод. Входящие в его состав графитоподобные структуры характеризуются небольшими толщиной пачки графеновых листов (L_c) и их продольными размерами (L_a), а расстояние между этими слоями (d/n) заметно больше, чем у графита (у графита $d=3,354$).

В случае использования углеродных добавок структура УМ характеризуется двумя рентгенофотографическими фазами с разной степенью кристалличности и размерами кристаллитов. Наиболее сильное каталитическое влияние на графитацию проявляет ПГ. В его присутствии число полиареновых слоев в пакете (N) возрастает с 6 до 44, степень графитации фазы (γ) достигает 87%.

Полученные данные свидетельствуют, что при введении в пек исследуемых углеродных добавок катализируется процесс графитации пека, что приводит к увеличению размеров кристаллитов и уменьшению расстояния между графеновыми листами в пачках. С увеличением количества добавки размер кристаллитов увеличивается, степень кристалличности углеродного материала повышается, о чем дополнительно свидетельствует и рост числа слоев в упаковке.

Каталитическое влияние структурированного углерода на графитацию может быть объяснено свойствами поверхности углеродного катализатора. При нагревании пека происходит его плавление и адсорбция на кристаллитах, составляющих структуру углеродного катализатора. В результате взаимодействия с электронами графитовых структур катализатора, молекул пека и образующихся при их термодеструкции ароматических фрагментов

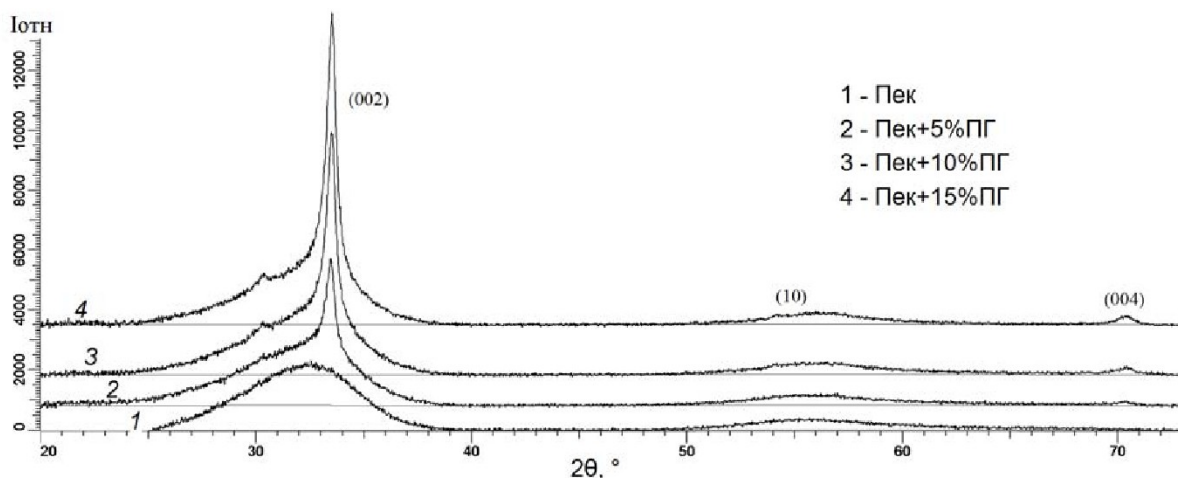


Рис.1. Рентгенограммы УМ, полученных из индивидуального пека и пека с добавками 5, 10 и 15% пенографита

Таблица 2. Результаты РФА образцов УМ, полученных карбонизацией при 900°C пека с углеродными добавками

| № п/п | Образец | Фаза | Содержание фазы, % | d/n, Å | L _c , Å | L _a , Å | ρ, г/см ³ | N, шт. | γ, % |
|----------|------------------------------|------|-----------------------|--------|--------------------|--------------------|-------------------------|-----------|------|
| 1 | Пек | | | 3,464* | 17* | 31 | 2,20 | 6* | - |
| 2 | ПГ | 1 | 55 | 3,364 | 76 | 488 | 2,27 | 24 | 85 |
| | | 2 | 45 | 3,361 | 305 | 883 | 2,27 | 92 | 87 |
| 3 | Игольчатый кокс | 1 | 41 | 3,477 | 22 | 53 | 2,19 | 7 | - |
| | | 2 | 59 | 3,429 | 34 | 118 | 2,22 | 11 | 12 |
| 4 | Пек+5%ПГ | 1 | 63 | 3,385 | 33 | 22 | 2,25 | 11 | 62 |
| | | 2 | 37 | 3,363 | 153 | 47 | 2,27 | 47 | 85 |
| 5 | Пек+10%ПГ | 1 | 59 | 3,363 | 32 | 23 | 2,27 | 11 | 86 |
| | | 2 | 41 | 3,362 | 141 | 53 | 2,27 | 43 | 85 |
| 6 | Пек+15%ПГ | 1 | 56 | 3,391 | 32 | 22 | 2,25 | 10 | 54 |
| | | 2 | 44 | 3,361 | 146 | 52 | 2,27 | 44 | 87 |
| 7 | Пек +5% игольча- тый кокс | 1 | 84 | 3,452 | 20 | 28 | 2,21 | 7 | - |
| | | 2 | 16 | 3,417 | 58 | 50 | 2,23 | 18 | 26 |
| 8 | Пек+10% игольча- тый кокс | 1 | 91 | 3,443 | 34 | 29 | 2,21 | 11 | - |
| | | 2 | 9 | 3,377 | 88 | 58 | 2,26 | 27 | 7 |
| 9 | Пек+15% игольча- тый кокс | 1 | 81 | 3,457 | 35 | 29 | 2,20 | 11 | - |
| | | 2 | 19 | 3,389 | 45 | 54 | 2,25 | 14 | 57 |

*Оценка проведена по рефлексу (002)

Таблица 3. Результаты РФА образцов УМ, полученных карбонизацией при 900°C пека с добавками солей 3d-металлов

| № п/п | Образец | Фаза | Характеристика | | | | | |
|----------|--------------|--|----------------|--------------------|--------------------|------|----------------------|----|
| | | | d/n, Å | L _c , Å | L _a , Å | γ, % | ρ, г/см ³ | |
| 10 | Пек+0,25%Fe | 1- графитоподобная 2-Fe ₂ O ₃ | 3,413 | 13 | 27 | 29 | 2,20 | 5 |
| 11 | Пек+ 0,5%Fe | 1- графитоподобная 2- Fe ₃ O ₄ + α-Fe | 3,395 | 25 | 40 | 50 | 2,20 | 8 |
| 12 | Пек + 1,0%Fe | 1- графитоподобная 2-Fe ₂ O ₃ +α-Fe | 3,385 | 27 | 80 | 61 | 2,30 | 9 |
| 13 | Пек + 2,0%Fe | 1- графитоподобная 2-Fe ₂ O ₃ +α-Fe | 3,399 | 49 | 104 | 45 | 2,20 | 15 |
| 14 | Пек+ 0,5%Ni | 1- аморфный углерод 2 - Ni – ГЦК | 3,461 | 20 | 35 | - | 2,20 | 7 |
| 15 | Пек+ 1,0 %Ni | 1 – аморфный углерод 2 - Ni - ГЦК | 3,467 | 21 | 32 | - | 2,20 | 7 |
| 16 | Пек+ 2,0 %Ni | 1 – аморфный углерод 2 - Ni - ГЦК | 3,481 | 19 | 45 | - | 2,19 | 7 |

тов, затрудняется выделение последних в летучую фазу. Задержка продуктов деструкции в зоне реакции приводит к увеличению вероятности их взаимодействия между собой с образованием нелетучих соединений, в результате чего повышается выход УМ.

Благодаря кристаллической структуре катализатора адсорбционные и конденсационные процессы на его поверхности проходят ориентированно, приводя к формированию кристаллической структуры углеродного материала, где в качестве центра кристаллизации («затравки») выступает катализатор. Более совершенная кристаллическая структура катализатора обеспечивает получение УМ с более высокой степенью графитации, что

наблюдается при переходе от игольчатого кокса (низкая степень упорядоченности) к ПГ. Двухфазный характер структуры углеродного катализатора обеспечивает формирование двух кристаллографических фаз также и в образующемся УМ.

В случае добавки к пеку соли железа получающийся УМ имеет однородную графитоподобную структуру, тогда как при введении соли никеля образующийся УМ, как и в случае индивидуального пека, характеризуется аморфной структурой. Для обоих катализаторов наблюдается увеличение размеров кристаллитов углерода и увеличение числа полиареновых слоев в пакете. Изменения более значительные при использовании соли железа (табл. 3). Металлы в составе УМ присутствуют

вуют, соответственно, в виде оксидов железа переменного состава и α -Fe, и в виде металлического Ni, имеющего гексацентрическую кубическую решетку (Ni – ГЦК).

Механизм действия солей d-металлов, очевидно, заключается в образовании донорно-акцепторных комплексов с электронами конденсированных ароматических структур пека, в результате чего происходит ориентирование растущих конденсированных слоев, образующихся при термопревращении пека.

ВЫВОДЫ

1. Показано, что ПГ, игольчатый кокс и соли 3d-металлов являются катализаторами низкотем-

пературной (900°C) графитации пека, изменяя фазовую структуру получаемого углеродного материала. Наибольший каталитический эффект проявляют структурированные углеродные материалы с развитой поверхностью, каким является, из рассмотренных добавок, пенографит.

2. При использовании в качестве катализатора солей 3d-металлов полученный углеродный материал имеет графитоподобную или аморфную структуру, представленную одной фазой, а при использовании структурированного углерода получаемый углеродный материал состоит из двух графитоподобных фаз с разными кристаллографическими характеристиками.

СПИСОК ЛИТЕРАТУРЫ

- Патент № 2206394 РФ. Способ полученияnanoструктурированного углеродного материала. Ч.Н. Барнаков [и др.]. – Опубл. в Б.И., 2003. - № 17.
- Development of active catalysts for low Pt loading cathodes of PEMFC by surface tailoring of nanocarbon materials / Z. R. Ismagilov [et al.] // Catalysis Today. – 2005. – V.102 - 103. – P. 58-66.
- Особенности свойств аморфного углеродного материала как носителя электродных катализаторов топливных элементов / Ч. Н. Барнаков [и др.] // Российский химический журнал. - 2006. – Т. 50. – № 1. – С. 54-57.
- Синтез и свойства аморфного микропористого углеродного материала как носителя катализатора топливного элемента / Ч. Н. Барнаков [и др.] // Кинетика и катализ. – 2010. – № 2. – С. 330-335.
- Исследование структуры и магнитных свойств наночастиц Со в матрице высокопористого аморфного углерода / С. В. Комогорцев [и др.] // Физика металлов и металловедение. – 2010. – Т. 109. – № 2. – С. 1–6.
- Патент № 2370437 РФ, МПК C01 B 31/02, C25B 11/12. Способ получения углеродного анодного материала / Барнаков Ч.Н., Сеит-Аблаева С. К., Козлов А. П., Ануфrienko B. F., Криворучко О. П., Пармон В. Н., Романенко А. И., Исмагилов З. Р; заявитель и патентообладатель Институт катализа им. Г.К. Боресского СО РАН. 2008132593/15; заявл. 06.08.08; опубл. 20.10.09, Бюл. № 29. – 11 с.: 4 ил.
- Патент № 2429194 РФ, МПК C01 B 31/04, C 25 B 1/00. Способ получения пенографита / Барнаков Ч. Н., Козлов А. П., Сеит-Аблаева С. К., Малышева В. Ю., Исмагилов З.Р., Ануфrienko B. F; заявитель и патентообладатель Институт углехимии и химического материаловедения СО РАН, Институт катализа СО РАН; 2009132561/05, заявл. 28.08.09. опубл. 20.09.2011, Бюл. № 26. – 12 с.: 7 ил.
- Патент № 2476374 РФ, МПК C 01 B 31/04, C 25 B 1/00 от 07.10.2010 г. Способ получения пенографита / Барнаков Ч. Н., Козлов А. П., Сеит-Аблаева С. К., Малышева В. Ю., Исмагилов З.Р.; заявитель Институт углехимии и химического материаловедения СО РАН, Институт катализа СО РАН.
- Патент № 2233794 РФ. Способ получения пенографита и пенографит, полученный данным способом. В.В. Авдеев [и др.] // Опубл. 10.08.2004.
- Вест. А. Химия твердого тела. Теория и приложения // А. Вест. М.: Мир, 1988. – 692 с.
- Картотека ASTM дифракционные данные графита (PDF 01-089-7213).
- Оценка взаимосвязи структуры графитоподобных материалов по данным РФА и электрофизических свойств графитовых материалов – анодов для ЛИА / Ч.Н.Барнаков [и др.] // Вестник. КузГТУ, 2013, №5. С. 70-73..

□Авторы статьи:

| | | | | |
|--|---|--|---|---|
| Хохлова Галина Павловна к.х.н., с.н.с ИУХМ СО РАН, e-mail: gkhokhlova@yandex.ru | Малышева Валентина Юрьевна, ведущий технолог ИУХМ СО РАН e-mail: v23091@yandex.ru | Попова Анна Николаевна , к.х.н., с.н.с КемНЦ СО РАН, ИУХМ СО РАН e-mail: h991@yandex.ru | Барнаков Чингиз Николаевич , д.х.н.,в.н.с. Зав. лаб. ИУХМ СО РАН e-mail: barnakov@rambler.ru | Исмагилов Зинфер Ришатович , член корр. РАН, д.х.н., директор ИУХМ СО РАН e-mail @iccms.sbras.ru">IsmagilovZR @iccms.sbras.ru |
|--|---|--|---|---|